

# Критическое замедление локальных флуктуаций вблизи перехода параэлектрическая–несоразмерная фаза кристаллов $\text{Rb}_2\text{ZnCl}_4$

© М.П. Трубицын, В.И. Пастухов, Т.М. Бочкова

Днепропетровский государственный университет,  
320625 Днепрпетровск, Украина

(Поступила в Редакцию 11 июня 1998 г.)

Проведено изучение аномального уширения ЭПР линий центров  $\text{Mn}^{2+}$  в высокотемпературной окрестности перехода параэлектрическая–несоразмерная фаза кристаллов  $\text{Rb}_2\text{ZnCl}_4$ . Показано, что уширение резонансных линий имеет неоднородный характер и обусловлено вкладом низкочастотных флуктуаций, соответствующих центральному пику в спектре элементарных возбуждений. Полученные данные позволили оценить величину критического индекса корреляционной длины  $\nu = 0.64 \pm 0.02$ , соответствующую  $3d$  ХУ-модели Гейзенберга.

Известно, что вблизи структурных фазовых переходов динамические свойства кристаллических материалов приобретают релаксационный характер, что проявляется в возникновении центрального пика в колебательном спектре. Значительный вклад в изучение критической динамики в окрестности структурных фазовых переходов был внесен при помощи радиоспектроскопических методов и, в частности, ЭПР [1–3]. Для большого числа кристаллов в окрестности точки перехода наблюдалось аномальное уширение и изменение формы резонансных линий, обусловленное критическим замедлением динамики параметра порядка. Как правило, структурные искажения, происходящие при переходе, приводят к изменениям в ЭПР спектре, который для низкотемпературной фазы может быть описан при помощи спин-гамильтониана (СГ)

$$\mathcal{H} = \mathcal{H}_0 + \mathcal{H}' \quad (1)$$

Первый член  $\mathcal{H}_0$  в (1) определяет состояние парамагнитного центра в высокотемпературной фазе;  $\mathcal{H}'$  рассматривается как возмущение и включает спиновые операторы, ответственные за изменение позиционной симметрии при переходе [4]. Параметры при спиновых операторах в  $\mathcal{H}'$  зависят от величины структурных смещений в окружении парамагнитного центра. Возникновение ненулевого значения локального параметра порядка ниже точки перехода вызывает температурный сдвиг положения ЭПР-сигналов. Флуктуации локального параметра порядка, порождая динамическую часть  $\mathcal{H}'$ , вносят вклад в ширину и приводят к изменению формы резонансных линий. В рамках (1) уширение резонансных линий в области фазового перехода может быть связано с вкладами двух типов [5]. Первый,  $\delta H_S$ , определяется диагональными матричными элементами СГ  $\mathcal{H}'$  и спектральной плотностью флуктуаций  $J(0)$  на нулевой частоте. Второй вклад в ширину линий,  $\delta H_{NS}$ , определяется недиагональными матричными элементами  $\mathcal{H}'$  и спектральной плотностью  $J(\omega_{res})$  на частоте резонанса  $\omega_{res} \sim 10^{10}$  Hz. Авторы работы [5] показали, что для случая, когда характерные частоты флуктуаций  $\Omega$  значительно превышают обусловленную этими флуктуациями

ширину линии  $\omega_1$ , спектральный контур имеет лоренцеву форму с шириной  $(\delta H_S + \delta H_{NS})$ . В пределе медленных флуктуаций  $\Omega \ll \omega_1$  форма линии может быть описана сверткой лоренциана с недиагональной шириной  $\delta H_{NS}$  и гауссиана, ширина которого определяется диагональной компонентой  $\delta H_S$  [5].

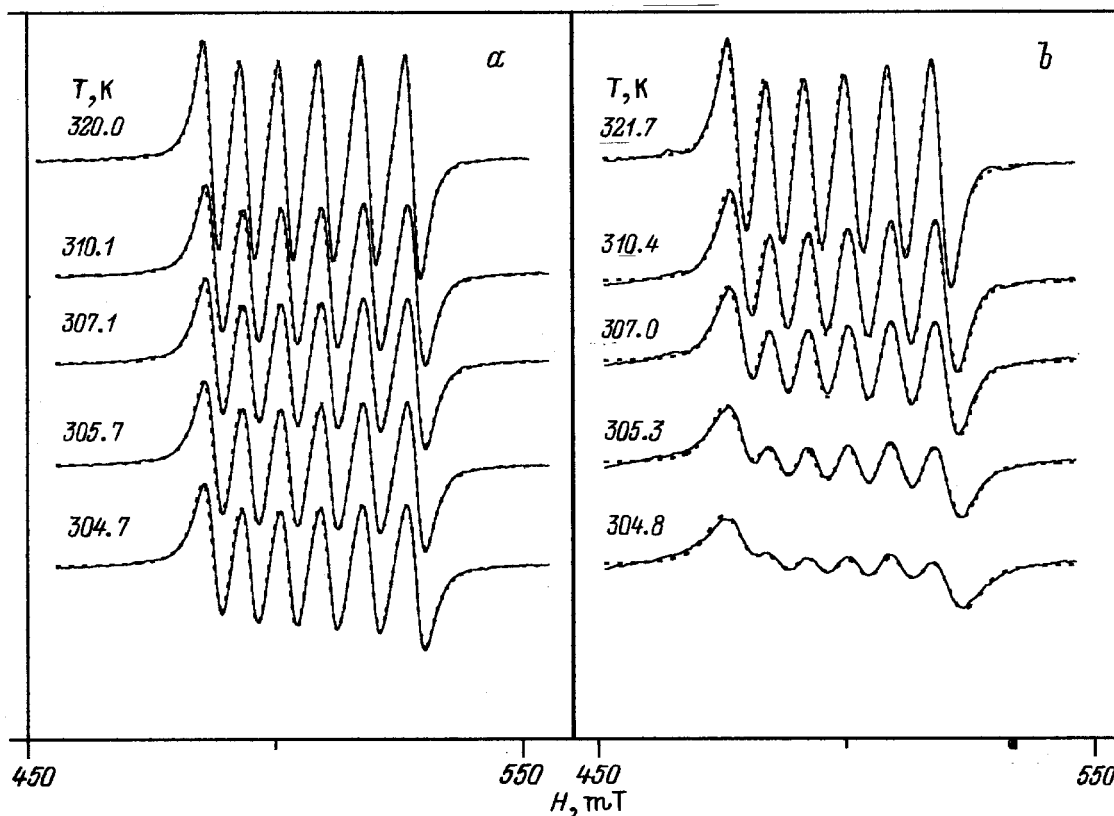
## 1. Экспериментальные результаты

В настоящей работе приведены результаты изучения ЭПР центров  $\text{Mn}^{2+}$  в кристаллах тетрагидрохлоридата рубидия, принадлежащего семейству изоморфных соединений  $\text{A}_2\text{BX}_4$  [6]. При  $T_i = 303$  K кристаллы  $\text{Rb}_2\text{ZnCl}_4$  претерпевают переход из высокотемпературной параэлектрической (группа симметрии  $D_{2h}^{16} - Pnam$ ,  $b > a > c$ ) в несоразмерную фазу с возникновением структурной модуляции, описываемой волновым вектором  $q_i = (1/3 - \delta)a^*$  [7,8].

Образцы были приготовлены из монокристаллов, выращенных по методу Чохральского [9]. Измерения проводились на стандартном радиоспектрометре X-диапазона. Температура образцов регулировалась нагреванием в парах жидкого азота с погрешностью в пределах 0.1 K.

Высокополевая группа сверхтонких линий  $M_S = 3/2 \leftrightarrow 5/2$  регистрировалась в процессе охлаждения образцов по мере приближения к  $T_i$  сверху. На рис. 1 представлены экспериментальные спектры для двух ориентаций внешнего магнитного поля  $\mathbf{H}$  относительно осей кристалла. Видно, что при  $\mathbf{H} \parallel \mathbf{a}$  сверхтонкий секстет не испытывает заметных изменений вблизи  $T_i^+$  (рис. 1, a). Отклонение  $\mathbf{H}$  от оси  $\mathbf{a}$  в плоскости (010) на угол  $7^\circ$  приводит к существенному изменению температурного поведения спектрального контура, который претерпевает значительное уширение при  $T \rightarrow T_i^+$  (рис. 1, b). Отметим, что анализ полученных спектров осложняется наложением соседних сверхтонких компонент, ширины которых ( $\sim 3.2$  mT) сравнимы с величиной сверхтонкого расщепления ( $\sim 7.5$  mT).

Ранее в работе [10] сообщалось об уширении ЭПР линий  $\text{Mn}^{2+}$  в окрестности  $T_i$  кристаллов  $\text{Rb}_2\text{ZnCl}_4$ . При



**Рис. 1.** Фрагмент ЭПР-спектра кристаллов  $\text{Rb}_2\text{ZnCl}_4:\text{Mn}^{2+}$ , соответствующий сверхтонкой группе  $M_S = 3/2 \leftrightarrow 5/2$ , в высокотемпературной окрестности  $T_i = 304.4\text{ K}$ .  $a - \mathbf{H} \parallel \mathbf{a}$ ,  $b - \angle \mathbf{H}, \mathbf{a} = 7^\circ$ ,  $\mathbf{H} \perp \mathbf{b}$ . Штриховыми линиями показаны расчетные спектры, полученные сверткой лоренцевой и гауссовой функций.

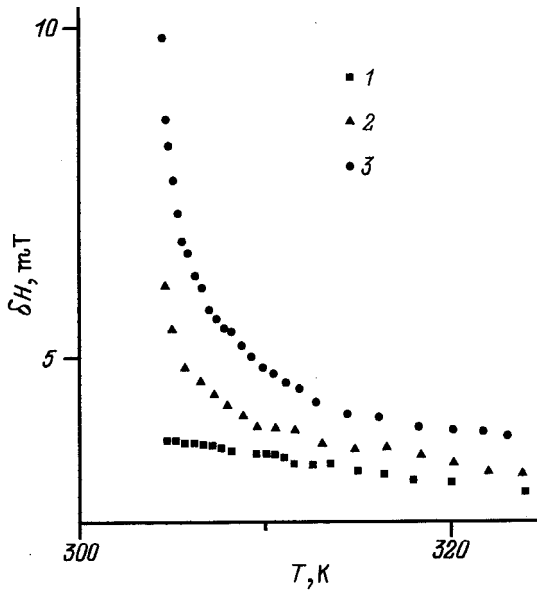
обработке экспериментальных спектров авторами [10] была использована процедура деконволюции, исключая из рассмотрения путем прямого и обратного Фурье-преобразований некритичную к структурным изменениям сверхтонкую мультипликацию спектра. Представляется, что такой подход имеет определенный недостаток. Пик в Фурье-образе экспериментального секстета, соответствующий периодичности сверхтонкой структуры, уширен вследствие конечного числа компонент в группе и их неэквидистантности в пределах одного электронного перехода. Соответственно, одиночная линия, получаемая в результате деконволюции, существенно искажена. Поэтому деконволюционная обработка не позволяет получить адекватную информацию о форме экспериментальных линий, выделить критический вклад в ширину и исследовать его температурное поведение вблизи точки перехода.

В настоящей работе осуществлено моделирование экспериментальной формы сверхтонкого секстета сверткой лоренциана с гауссианом  $\int L\{(H - H_C)/\delta H_L\}G\{(H_C - H_0)/\delta H_G\}dH_C$ . Этот подход позволил определить однородный  $\delta H_L$  и неоднородный  $\delta H_G$  вклады в ширину линии и достичь хорошего совпадения расчетных спектров с экспериментальными (рис. 1).

На рис. 2 представлены температурные зависимости ширины сверхтонкой компоненты высокополевой группы  $M_S = 3/2 \leftrightarrow 5/2$  для трех ориентаций внешнего магнитного поля. Ширина определялась как расстояние между экстремумами производной линии поглощения. Видно, что незначительное увеличение ширины линии при  $T \rightarrow T_i^+$  для главной ориентации  $\mathbf{H} \parallel \mathbf{a}$  меняется на ярко выраженное аномальное уширение, величина которого возрастает по мере отклонения  $\mathbf{H}$  от оси  $\mathbf{a}$ . Результаты моделирования формы спектра показали, что критический вклад в ширину связан с возрастанием гауссовой компоненты  $\delta H_G$ , тогда как поведение лоренцевой составляющей  $\delta H_L$  не вызывает аномалий вблизи точки перехода.

## 2. Обсуждение результатов

Как было показано ранее [9,11], центры  $\text{Mn}^{2+}$  замещают ионы цинка, расположенные в тетраэдрах ( $\text{ZnCl}_4$ ). В парафазе активные центры обладают локальной симметрией  $C_S$  с кратностью  $k_M = 2$  и лежат в зеркальной плоскости ( $\mathbf{a}$ ,  $\mathbf{b}$ ). Ориентационные зависимости тонкой структуры ЭПР хорошо описываются ромбическим СГ  $\mathcal{H}_0$  с параметрами  $g = 2.004$ ,  $|B_2^0|/g\beta = 16.01\text{ mT}$ ,  $|B_2^2|/g\beta = 9.10\text{ mT}$ , рассчитанными в [9] для следующей



**Рис. 2.** Температурная зависимость ширины индивидуальной сверхтонкой компоненты перехода  $M_S = 3/2 \leftrightarrow 5/2$  для следующих ориентаций внешнего магнитного поля: 1 —  $\mathbf{H} \parallel \mathbf{a}$ ; 2 —  $\angle \mathbf{H}, \mathbf{a} = 3.5^\circ$ ; 3 —  $\angle \mathbf{H}, \mathbf{a} = 7^\circ$ ;  $\mathbf{H} \perp \mathbf{b}$ .

установки магнитных осей:  $\angle \mathbf{Za} = \pm 5^\circ$ ,  $\angle \mathbf{Xb} = \pm 5^\circ$ ,  $\mathbf{Y} \parallel \mathbf{c}$ . При переходе в несоизмерную фазу плоскость симметрии (**a**, **b**) локально нарушается (хотя макроскопически группа симметрии модулированной фазы остается прежней вследствие пространственного усреднения периодических искажений вдоль оси модуляции) и позиции центров соответствует группа  $C_1$ . Следовательно, СГ возмущения  $\mathcal{H}'$  в (1) содержит эквивалентные спиновые операторы, соответствующие триклинной симметрии, и, с сохранением наиболее существенных членов, может быть записан в виде [4]

$$\mathcal{H}' = B_2^1 O_2^1 + C_2^1 \tilde{O}_2^1. \quad (2)$$

Для случая когда внешнее магнитное поле лежит в плоскости (**a**, **b**) либо перпендикулярно ей, диагональные матричные элементы вида  $\langle M_S | \mathcal{H}' | M_S \rangle$  равны нулю. Экспериментально при  $\mathbf{H} \parallel \mathbf{a}$  ширина линии  $\delta H$  (рис. 2) и ее гауссова составляющая  $\delta H_G$  не проявляют заметных особенностей вблизи  $T_1^+$ . Для отклоненных ориентаций  $\angle \mathbf{H}, \mathbf{a} = 3.5, 7^\circ$ ;  $\mathbf{H} \perp \mathbf{b}$  магнитное поле нарушает локальную симметрию и запрет на диагональные матричные элементы СГ  $\mathcal{H}'$  (2) снимается. Соответственно при  $T \rightarrow T_1^+$  в эксперименте регистрируется аномальное уширение линий (рис. 2), которое происходит за счет роста неоднородной составляющей  $\delta H_G$ .

Полученные данные указывают, что аномальное уширение имеет неоднородный характер и определяется диагональными матричными элементами СГ  $\mathcal{H}'$ . В соответствии с выводами работы [5], такое поведение ширины отражает рост спектральной плотности флуктуаций на нулевой частоте  $J(0)$ . Точнее говоря, характерная частота флуктуаций, дающих вклад в уширение,

должна быть много меньше "измеряющей" частоты эксперимента, которая имеет порядок ширины линии для случая "жесткой" решетки,  $\sim 10^7$  Hz [12]. Критический вклад может быть выделен из гауссовой компоненты при помощи соотношения

$$\delta H_{CR}(T) = \{\delta H_G^2(T) - \delta H_{BGR}^2\}^{1/2}, \quad (3)$$

где  $\delta H_{BGR}$  — неоднородная фоновая составляющая, обусловленная некритическими статическими вкладками. Исходя из сказанного, температурную зависимость  $\delta H_{CR}(T)$  необходимо рассматривать при помощи квазистатического приближения, в рамках которого критическая ширина стремится к конечному значению  $\delta H^{\max}$  в точке перехода [13]

$$\delta H_{CR} = \delta H^{\max} \{1 - C\tau^\nu \arctg(C^{-1}\tau^{-\nu})\}^{1/2}. \quad (4)$$

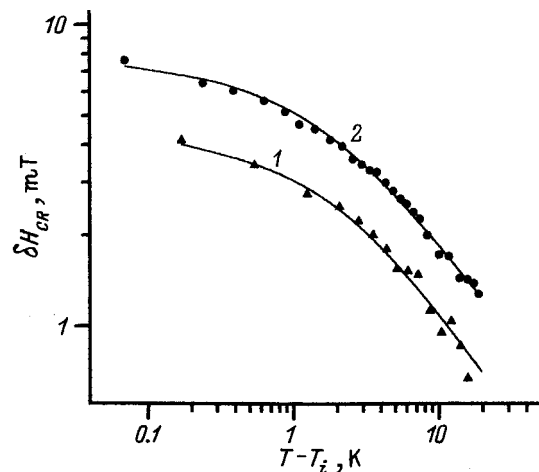
В (4) пренебрегается малой величиной критического индекса парного коррелятора  $\eta$  и введены следующие обозначения:  $C = k_0 a / \pi$ ;  $k = k_0 \tau^\nu = \xi^{-1}$  — обратная корреляционная длина,  $\nu$  — соответствующий критический индекс,  $\tau = (T - T_i) / T_i$  — приведенная температура,  $a$  — параметр элементарной ячейки. Вблизи  $T_i$ , заменив в (4) арктангенс на  $\pi/2$ , можно получить

$$\delta H_{CR} = \delta H^{\max} \{1 - (\pi/2) C\tau^\nu\}^{1/2}. \quad (5)$$

Очевидно, при  $\tau \rightarrow 0$  критический вклад в ширину  $\delta H_{CR}$  стремится к  $\delta H^{\max}$  в точке перехода. По мере удаления от  $T_i$ , в пределе  $\tau \rightarrow \infty$ , арктангенс может быть разложен в ряд и (4) записано в виде

$$\delta H_{CR} = \frac{1}{\sqrt{3}} \delta H^{\max} C^{-1} \tau^{-\nu}. \quad (6)$$

Экспериментальные зависимости критической ширины, полученные при помощи (3) для измерений в



**Рис. 3.** Зависимости критического вклада в ширину линии  $\delta H_{CR}$  от  $(T - T_i)$  в двойном логарифмическом масштабе. 1 —  $\angle \mathbf{H}, \mathbf{a} = 3.5^\circ$ , 2 —  $\angle \mathbf{H}, \mathbf{a} = 7^\circ$ ;  $\mathbf{H} \perp \mathbf{b}$ . Сплошные линии получены при помощи выражения (4).

отклоненных ориентациях, представлены на рис. 3 в двойном логарифмическом масштабе. В качестве фоновых ширин были использованы следующие значения  $\delta H_{BGR} = 1.35 \text{ мТ}$  ( $\angle \mathbf{H}, \mathbf{a} = 3.5^\circ$ ) и  $\delta H_{BGR} = 1.48 \text{ мТ}$  ( $\angle \mathbf{H}, \mathbf{a} = 7^\circ$ ). Сплошными линиями на рис. 3 приведены также теоретические кривые, рассчитанные на основе (4). При этом точка перехода  $T_i = 304.4 \text{ К}$  определялась независимо по расщеплению резонансных линий в сингулярный спектр [14]. Видно, что выражение (4), полученное в квазистатическом приближении, позволяет описать экспериментальные зависимости и предсказывает следующие величины критических вкладов в ширину линии в  $T_i$ :  $\delta H^{\max} = 4.48 \text{ мТ}$  ( $\angle \mathbf{H}, \mathbf{a} = 3.5^\circ$ ) и  $\delta H^{\max} = 7.93 \text{ мТ}$  ( $\angle \mathbf{H}, \mathbf{a} = 7^\circ$ ).

Известно, что для центров  $\text{Mn}^{2+}$  локальному параметру порядка может быть сопоставлен угол поворота тетраэдрических групп ( $\text{ZnCl}_4$ ) [11] и спектры ЭПР наиболее чувствительны к поворотам тетраэдров вокруг оси  $\mathbf{b}$  [15]. Экстраполированные величины  $\delta H^{\max}$  и приведенные выше значения параметров СГ  $\mathcal{H}_0$  дают возможность провести оценку среднеквадратичной флуктуации угла поворота тетраэдров в точке перехода:  $\langle \delta \alpha^2 \rangle^{1/2} = 3.0^\circ$  ( $\angle \mathbf{H}, \mathbf{a} = 3.5^\circ$ ) и  $\langle \delta \alpha^2 \rangle^{1/2} = 2.7^\circ$  ( $\angle \mathbf{H}, \mathbf{a} = 7^\circ$ ). Полученные величины хорошо согласуются с результатами рентгеновских измерений [7].

Средний наклон экспериментальных зависимостей для  $T - T_i \geq 7 \text{ К}$  (рис. 3), согласно (6), определяется величиной критического индекса корреляционной длины и для обеих зависимостей составляет  $\nu = 0.68 \pm 0.05$  ( $\angle \mathbf{H}, \mathbf{a} = 3.5^\circ$ ) и  $\nu = 0.64 \pm 0.02$  ( $\angle \mathbf{H}, \mathbf{a} = 7^\circ$ ). В пределах экспериментальной точности полученные значения согласуются с величиной  $\nu$  в трехмерной модели Гейзенберга для двухкомпонентного параметра порядка ( $3d \text{ XY}$ -модели), к классу универсальности которой относятся несоизмеримые кристаллы семейства селената калия [16]. Величина подгоночного параметра  $C = k_0 a / \pi$ , используемого в (4), позволяет оценить отношение корреляционной длины  $\xi_0$  при  $T = 0$ , которая является мерой радиуса действия сил, ответственных за переход, к параметру ячейки  $\xi_0 / a \sim 0.01$  ( $a \sim 10 \text{ \AA}$ ). Эта величина оказывается значительно меньше, чем можно было ожидать, принимая во внимание размеры "жестких" структурных элементов — тетраэдров ( $\text{ZnCl}_4$ ), и характерные расстояния между ними  $\sim 2 \div 3 \text{ \AA}$ . Причина столь малой оценки для  $\xi_0$  может заключаться в необходимости учета анизотропии коррелированных движений вблизи  $T_i$  [13], что приводит к изменению дисперсионного соотношения и к введению новых параметров в выражение вида (4).

Проведенное в работе исследование спектров ЭПР ионов  $\text{Mn}^{2+}$  в окрестности  $T_i = 304.4 \text{ К}$  кристаллов  $\text{Rb}_2\text{ZnCl}_4$  показало, что уширение резонансных линий происходит за счет квазистатических флуктуаций параметра порядка с частотами ниже частотного аналога фоновой ширины  $\delta H_{BGR}$ . Таким образом, аномальный вклад в ширину ЭПР линий можно связать с наличием центрального пика в колебательном спектре  $\text{Rb}_2\text{ZnCl}_4$

и привести верхнюю оценку для его ширины  $\sim 40 \text{ МГц}$ . Поскольку в случае ЭПР-центров  $\text{Mn}^{2+}$  локальный параметр порядка соответствует повороту тетраэдрических комплексов ( $\text{ZnCl}_4$ ), полученные данные позволяют оценить среднеквадратичную флуктуацию угла поворота вблизи точки перехода.

Анализ температурного поведения флуктуационного вклада в ширину ЭПР-линий дает возможность определить величину критического индекса корреляционной длины  $\nu = 0.64 \pm 0.02$ , которая в пределах экспериментальной ошибки подтверждает неклассический характер критических свойств кристаллов  $\text{Rb}_2\text{ZnCl}_4$ , соответствующий  $3d \text{ XY}$ -модели Гейзенберга.

## Список литературы

- [1] K.A. Muller, J.C. Fayet. In: Structural Phase Transitions II / Ed. K.A. Muller & H. Thomas. Springer-Verlag, Berlin (1991). V. 45. P. 1.
- [2] K.A. Muller. In: Dynamical Critical Phenomena and Related Topics. Lecture Notes in Physics. Springer, Berlin–Heidelberg (1979). V. 104. P. 210.
- [3] R. Blinc. Ferroelectrics **20**, 121 (1978).
- [4] С.А. Альтшулер, Б.М. Козырев. Электронный парамагнитный резонанс соединений элементов промежуточных групп. Наука, М. (1972). 672 с.
- [5] G.F. Reiter, W. Berlinger, K.A. Muller, P. Heller. Phys. Rev. **B21**, 1, 1 (1980).
- [6] A.U. Scheleg, V.V. Zaretskii. In: Incommensurate Phases in Dielectrics-Materials. Amsterdam (1986). P. 367.
- [7] K. Iton, A. Hinasada, H. Matsunaga, E. Nakamura. J. Phys. Soc. Jap. **52**, 2, 664 (1983).
- [8] K. Gesi, M. Iizumi. J. Phys. Soc. Jap. **46**, 2, 697 (1979).
- [9] Т.М. Бочкова, О.Е. Бочков, С.А. Флерова, М.П. Трубицын. ФТТ **26**, 7, 2170 (1984).
- [10] A. Kaziba, M. Pezeril, J. Emery, J.C. Fayet. J. Physique Lett. **46**, L-387 (1985).
- [11] M. Pezeril, J. Emery, J.C. Fayet. J. Physique Lett. **41**, L-499 (1980).
- [12] А. Абрагам. Ядерный магнетизм. Ин. лит., М. (1963). 551 с.
- [13] Th. von Waldkirch, K.A. Muller, W. Berlinger. Phys. Rev. **B7**, 13, 1052 (1973).
- [14] R. Blinc. Phys. Rep. **79**, 5, 331 (1981).
- [15] J.J. Horikx, A.F.M. Arts, H.W. de Wijn. Phys. Rev. **B37**, 13, 7209 (1988).
- [16] А. Брус, Р. Каули. Структурные фазовые переходы. Мир, М. (1984). 407 с.